

**PRZEMYSŁOWY INSTYTUT AUTOMATYKI I POMIARÓW
MERA-PIAP**
Al. Jerozolimskie 202 02-222 Warszawa Telefon 23-70-81

Ośrodek Badań Niezawodności i Jakości

(O)H Centralna Stacja Prób *A*

Główny wykonawca

Wykonawcy mgr inż. E.Trepczyński, tech.tech. H.Michniewicz,
J.Antczak, W.Czarnecki.

Konsultanci mgr inż.inż. A.Socha, Z.Jasińska

Nr zlecenia
RP-2731

Moduły PR-02 z napędem elektrycznym.
Badania modeli.

Zleceniodawca CPBR 7.1

Pracę rozpoczęto dnia 89.04.19
Kierownik *CS*

as mgr inż. E.Trepczyński

zakończono dnia 89.04.30
Kierownik OBN *Sm*

dr inż. St.Budzyński

Praca zawiera:

stron 12

rysunków

fotografii 1

tabel 6

tablic

załączników 3

Rozdzielnik - ilość egz:

Egz. 1 BOINTE

Egz. 2 OBN

Egz. 3 OAR

Egz. 4 OAR

Egz. 5

Egz. 6

Nr rejestr. 6280

1

Analiza deskryptorowa

MODUŁY PR-02E + BADANIA MODELI

Analiza dokumentacyjna

Sprawozdanie zawiera opis i wyniki badań, wnioski i zalecenia.

Tytuły poprzednich sprawozdań

nie ma

338.45 : 62/69].001.2/.1 Roboty programowane
UKD 621.3.06 Oprogramowanie

1. Etap

1.1. Przedmiot badań.

Przedmiotem badań były modele trzech modułów robota PR-02B:

- moduł MA-1000E - realizujący ruch liniowy (w poziomej osi)
- moduł MB-600E - realizujący ruch liniowy (w pionowej osi)
- moduł MD-300E - realizujący ruch obrótowy.

1.2. Cel badań

Celem badań było sprawdzenie działania modeli modułów oraz określenie parametrów zgodnie z programem badań.

1.3. Dokumenty zmienione

Program badań modeli modułów PR-02 z napędem elektrycznym - opis.042
zat. do n/sprawozdania

1.4. Zakres badań

Badania obejmowały następujące sprawdzanie:

- oględziny
- określenie masy
- spr. rezystancji izolacji
- spr. działania
- określenie parametrów ruchu
- określenie poboru mocy modułów
- portretalność pozycjonowania modułów
- spr. posz. modułów
- badania wybranej przykładowej konfiguracji robota PR-02B
- określenie zasilania modułów
- spr. wytrzymałości elektrycznej izolacji.

2. Wyniki badań

2.1. Oględziny

Oględzinom poddano kolejno każdy moduł (poz. oddzielonym zasilaniem elektrycznym) sprawdzając zgodność wykonania poszczególnych

modułów ze schematami na rys. 1,2,3 program badań.

Stwierdzono niezgodność połączonych:

- w module MA1000E odwrotna kolejność zasilania silnika na pinach nr 11, 12
- w module MB-600E dla włączenia dioda hamulca (BIP 401) - zmieniony "+" z "-"

Po usunięciu powyższych niezgodności stwierdzono poprawność układów elektrycznych modułów.

2.2. Oznakowanie masy

Katki w badanych modułach zaznaczono kolejno na wadze. Masa modułów wynosi - MA-1000E - kg

MB-600E - kg

MB-540E - kg

2.3. Sprawdzenie rezystancji izolacji

Sprawdzając poddano katki moduł zgodnie z opisem p. 4.2.4 programu badań.

w wyniku pomiaru stwierdzono, że rezystancja izolacji wszystkich trzech modułów, mierzona między cokołem metalowym a złączymi pinami słega elektrycznych (SnR) jest większa od 50 MΩ.

2.4. Sprawdzenie działania

Moduły bez obciążenia zasilane z zasilacza prądu stałego tak, aby spowodować:

- ruch modułu przy minimalnej prędkości (z obu kierunków)
- ruch modułu przy prędkości odpowiadającej ok. 40 % napięcia znamionowego (ok. 30 V)

¶ dla tych warunków pomierzone prądy pobierane przez silniki.

Wyniki pomiarów zestawione w tabeli 1:

| Moduł | V = 30,00 V | | V = 24,00 V | |
|---------|---------------------|------------------------|---------------------|---------------------------|
| | +17V | -17V | +17V | -17V |
| MB540E | 0,9 A przy U=2V | 0,9 ± 3 A przy U=2V | 2,6 A przy U=29V | 2,5 ± 2,6 A przy U=29V |
| MB600E | 0,2 A przy U=4V | 3,5 A przy U=4V | 3,2 A przy U=29V | 6,5 A przy U=29V |
| MA1000E | 3,7 A przy U=6 V | 3,1 A przy U=6V | 11 A przy U=29V | 10,6 A przy U=29V |

Prędy +I i -I odnoszą się do ruchu w dodatnim i ujemnym kierunku.
Pomiary wykonane po wyjściu silnika.

W powyższych danych wynika, że w modułach MB600E i MA1000E przekreślane są wartości prędkości maksymalnych (przy pracy bez obciążenia).
Moduły podłączone do szafy sterowniczej robota IRB-60 (sterowniki mecy UK po dopasowaniu elementów korekcyjnych przez OEM) współpracują w układzie sterowania.

- realizowały maksymalny zakres ruchów między wyłącznikami krateczkowymi
- realizowały ruchy przy różnych nastawach prędkości, tzn.
 - dla modułu MD340E 1,3 % - 100 % V (ręczna i auto)
 - dla modułów ME600E i 1000E 2,5 - 50 % V (ręczna i auto).

W układach MB600E i 1000E przy prędkości 75 % i 100 % AUTO następuje wywołanie STOPU AWARIJNEGO, natomiast przy prędkości 1,3 % występuje cykliczne zatrzymywanie (patrz wykres zah.5, 6).

2.5. Określanie parametrów ruchu

2.5.1. Maksymalne prędkości ruchu

Badanie wykonano wg. z p.4.2.6. z programem badań z wykorzystaniem czujnika fotosilikonowego i rejestratora.

Syntki pomiarów zestawione przedstawiają:

| Moduł | Nastawa prędkości | Wart. średnia poszerzona prędkość ruchu przy kierunku | |
|---------|-------------------|--|----------------|
| MD340E | 50 % 100 % | 20°/s 40°/s | 20°/s 40°/s |
| ME600E | 50 % | 0,33 m/s | 0,27 m/s |
| MA1000E | 50 % | 0,41 m/s | 0,31 m/s |

2.5.2. Maksymalne przyspieszenia prędkości ruchu

Pomiary wykonano dla modułów nieobciążonych rejestrując przebieg na pięćce prędnicy tachometrycznej. Moduły programowane w pracy AUTO przy prędkości: 100 % dla modułu MD340 E

50 % dla modułów MA1000E i ME600E

oraz dla maksymalnego zakresu ruchu.

Wykresy przebiegów U(t) - sza. 1,2,3.

Stwierdzenia:

- w module MB340E brak przeregulowania. Napięcie tachoprzednicy przy $V = 100\% \text{ AUTO}$ dla obu kierunków ruchu wynosi 19 V.
- w module MB600E dla kierunku dodatniego brak przeregulowania. Napięcie tachoprzednicy wynosi ok. 9 V; dla kierunku ujemnego przeregulowanie równe 22 %, napięcie tachoprzednicy ok. 12 V.

2.5.3. Przygotowanie i opóźnienie ruchu

Casy rozruchu (tp) i hamowania (th) wybrane (zg. z p. 4.2.6.3 programu badań) na podstawie przebiegu napięcia przednicy tachometrycznej wykazanych przy pomiarze prędkości ruchu zg. z p.2.5.2 z symulacją (zak. 1,2,3).

Dla modułu MA1000E - tp i th wybrane dla prędkości $V = 51\% \text{ AUTO}$. Wyniki pomiarów zestawione w tabeli:

| Moduł | Wartość % | Kierunek ruchu | | | | | |
|---------|--------------|----------------|---|-----|---|-----|-----|
| | | tp | + | th | + | tp | + |
| MB340E | 100 | 360 | + | 480 | + | 360 | 480 |
| MB600E | 50 | 160 | + | 280 | + | 320 | 200 |
| MA1000E | 51 | 450 | + | 490 | + | 350 | 350 |

2.5.4. Określenie amplitudy oscylacji sygnału prędkociowego sprzężenia zwrotnego

Badanie wykazane zg. z p. 4.2.6.4 programu.

Przebiegi oscylacji sygnału nap. przednicy tachometrycznej przy prędkości $V = 1,3\% \text{ AUTO}$ przedstawiono w zak. 4.5.6.

Stwierdzono, że:

- w module MB340E - występuje oscylacja sygnału o amplitudzie 100 mV dla kierunku "+"
- w module MB600E - dla kierunku "+" oscylacja sygnału o amplitudzie 20 mV-p-p
- w module MA1000E - nie występuje.

2.5.5. Pomiar prądów silników

Badanie wykonane zg. z p. 4.2.6.5 programu badań, przy czym dla modułów MD540E i MA1000E pomiary wykonane dla prędkości 1,3 % i 50 % AUTO, natomiast dla MD600E dla prędkości 1,3 % i 100 % AUTO. Przepłygi I(t) w zakresach 7,8,9.

Stwierdzono, że maksymalne wartości prądów silników wynoszą:
dla modułu MD540E i prędkości 100 % AUTO - 5 A dla obu kierunków
w impulsie przy rozruszaniu ok. 8 A, natomiast dla prędkości 1,3 % -
1,2 A dla obu kierunków ruchu.

dla modułu MD600E i prędkości 50 % AUTO - 7 A dla kierunku "+"
oraz oscylacja prądu od 2 do 9 A dla kierunku "+", natomiast dla
prędkości 1,3 % AUTO - 3 A dla kierunku "-" oraz oscylacja prądu
od 0,5 do 2 A dla kierunku "+"

dla modułu MA1000E i prędkości 50 % AUTO - 26 A dla obu kierunków ruchu
natomiast dla prędkości 1,3 % AUTO - 5 A dla obu kierunków ruchu.

2.6. Określenie poboru mocy modułów

Sprawdzenie wykonane zg. z p. 4.2.6.7 programu badań.

Pobór mocy wynosił:

przy pracujących module MD540E - 0,42 kW

" " MD600E - 0,69 kW

" " MA1000E - 0,76 kW

2.7. Postępowność pozycjonowania modułów

Badanie wykonane zg. z p. 4.2.8 programu badań przy użyciu czujnika magnetycznego przemieszczonych liniowych o rozpiętości 0,01 mm.

Wyniki pomiarów zestawiono w tabelach 1,2,3.

Stwierdzono, że postępowność pozycjonowania dla modułów MA1000E i MD600E mieści się w zakresie przedziału $\pm 0,1$ mm, natomiast dla modułu MD540E w przedziale $\pm 72^\circ$.

Stwierdza się jednocześnie, że w punktach pomiarowych występuje ruch oscylacyjny modułów o amplitudach:

dla modułu MD540E - $\pm 20^\circ$

- dla modułu MD600E - $-0,01 \leftrightarrow +0,02$ mm

dla modułu MA1000E - $-0,03 \leftrightarrow +0,04$ mm

2.8. Sprawdzenie pracy modułów

Badanie wykonano zg. z p. 4.2.9 programu badań.

W trakcie próby 8 w pracy modułów z prędkością 100 % dla modułu MD340E i 50 % dla modułów MR600E i MA1000E nie wystąpiły uszkodzenia mechaniczne i elektryczne.

2.9. Badanie wybranej konfiguracji robota PR-02E

Moduły montowane w konfiguracji przedstawioną na fot. 1 u/sprawdzenia 1 w sposób satynowy przygotowano do podstazy.

2.9.1. Sprawdzenie działania konfiguracji

Stwierdzono prawidłowość działania robota we wszystkich kierunkach ruchu modułów. Z uwagi na to, że moduł MR600E obciążony jest modułem MA1000E, zaś moduł obrótowy MD340E obciążony jest modułami MA1000E i MR600E pomiary prądów silników wykonano przy obciążeniu robota masą 10 kg zgodnie z rys.8.

Przebiegi I(+)- w pracy automatycznej (przy prędkości modułów 50 %) zamiera zał. 10.

Stwierdzono, że maksymalne wartości prądów silników wynoszą odpowiednio dla modułu MD340E - 4 A
dla modułu MR600E - 8 A
dla modułu MA1000E - 16 A.

2.9.2. Sprawdzenie postarczalności pozycjonowania konfiguracji

Badanie wykonano zg. z p. 4.2.10.2 programu badań.

Wyniki pomiarów zestawiono w tabelach 4,5,6.

Stwierdzono, że postarczalność pozycjonowania mieści się w zakresie przedziałów dla modułów MA1000E i MR500E - $\pm 0,1$ mm
dla modułu MD340E - ± 72 "

2.10. Określenie satynowości modułów

Badanie wykonane zg. z p. 4.2.10 programu badań.

Wyniki pomiarów zestawiono poniżejszo

MODUŁ MD 340E

| | | | | |
|---------------------------------|----------|------|--------------|--------------|
| Zakres ruchu α [°] | 90 | | | |
| Ramię przyłożenia sily [mm] | 300 | | | |
| Wartość sily [kg] | 0 | 30 | 60 | 90 |
| Przesunięcie Δy | 0,00 | 0,21 | 0,53 | 0,83 |
| Δ [rad $\cdot 10^{-4}$] | 0 1,6 | ? | 17,6 22,6 | 27,6 27,6 |

$$\Delta = \arctg \left(\frac{\pm \Delta x}{l} \right) [\text{rad}]$$

MODUŁ MA 1000E

| Zakres ruchu S [mm] | 500 | | | | 1000 | | | |
|---|------|------|------|------|------|------|------|------|
| Ramię przyłożenia sily L [mm] | 500 | | | | 1000 | | | |
| Wartość sily F_2 [KG] | 0 | 5 | 10 | 15 | 0 | 5 | 10 | 15 |
| Przesunięcie \rightarrow Δz [mm] | 0,00 | 0,36 | 0,72 | 1,03 | 0,00 | 1,57 | 3,47 | 5,64 |
| Δz [mm] \leftarrow | 0,01 | 0,38 | 0,73 | 1,03 | 0,13 | 1,93 | 3,81 | 5,64 |
| Δ [$\text{rad} \cdot 10^{-4}$] | 0 | 7,20 | 14,4 | 20,8 | 0 | 15,7 | 34,7 | 56,4 |
| | 0,2 | 7,6 | 14,6 | 20,6 | 1,3 | 19,3 | 38,1 | 56,4 |
| Wartość sily F_x [KG] | 0 | 5 | 10 | 15 | 0 | 5 | 10 | 15 |
| Przesunięcie \rightarrow Δx [mm] | 0,00 | 0,30 | 0,57 | 0,80 | 0,00 | 0,79 | 1,52 | 2,18 |
| Δx [mm] \leftarrow | 0,01 | 0,34 | 0,62 | 0,80 | 0,01 | 0,84 | 1,56 | 2,18 |
| Δ [$\text{rad} \cdot 10^{-4}$] | 0 | 6,0 | 11,4 | 16 | 0 | 7,9 | 15,2 | 21,8 |
| | 0,2 | 6,8 | 12,4 | 16 | 0,1 | 8,4 | 15,6 | 21,8 |

MODUŁ MB 600E

11

| Zakres ruchu S [mm] | 300 | | | | | | | | 600 | | | | | | | |
|--------------------------------------|-----------------|-------|-----------------|-------|-----------------|-------|-----------------|-------|-------|-------|-------|-------|-------|-------|-------|-------|
| | Lx=50 | Ly=80 | Lx=50 | Ly=45 | Lx=50 | Ly=80 | Lx=50 | Ly=45 | Lx=50 | Ly=80 | Lx=50 | Ly=45 | Lx=50 | Ly=80 | Lx=50 | Ly=45 |
| Ramię przyłożenia sity [mm] | 94 | | 67 | | 94 | | 67 | | | | | | | | | |
| Wartość sity Fz [KG] | Fz ₁ | | Fz ₂ | | Fz ₁ | | Fz ₂ | | | | | | | | | |
| Przesunięcie: Δz [mm] | 0,00 | 0,01 | 0,04 | 0,05 | 0,00 | 0,01 | 0,04 | 0,07 | 0,00 | 0,01 | 0,04 | 0,05 | 0,00 | 0,01 | 0,04 | 0,07 |
| | 0,01 | 0,02 | 0,03 | 0,05 | 0,01 | 0,01 | 0,04 | 0,07 | 0,01 | 0,02 | 0,03 | 0,05 | 0,01 | 0,01 | 0,04 | 0,07 |
| Δ [rad·10 ⁻⁴] | 0 | 1 | 4 | 5 | 0 | 1,4 | 5,9 | 10,4 | 0 | 1 | 4 | 5 | 0 | 1,4 | 5,9 | 10,4 |
| | 1 | 2 | 3 | 5 | 1,4 | 1,4 | 5,9 | 10,4 | 1 | 2 | 3 | 5 | 1,4 | 1,4 | 5,9 | 10,4 |
| Wartość sity Fz ₂ [KG] | 0 | 30 | 60 | 90 | 0 | 30 | 60 | 90 | 0 | 30 | 60 | 90 | 0 | 30 | 60 | 90 |
| Przesunięcie: Δz [mm] | 0,00 | 0,04 | 0,08 | 0,12 | 0,00 | 0,05 | 0,08 | 0,17 | 0,00 | 0,04 | 0,08 | 0,12 | 0,00 | 0,05 | 0,08 | 0,17 |
| | 0,01 | 0,04 | 0,08 | 0,12 | 0,01 | 0,05 | 0,08 | 0,17 | 0,01 | 0,04 | 0,08 | 0,12 | 0,01 | 0,05 | 0,08 | 0,17 |
| Δ [rad·10 ⁻⁴] | 0 | 4 | 8 | 12 | 0 | 7,4 | 11,9 | 25,3 | 0 | 4 | 8 | 12 | 0 | 7,4 | 11,9 | 25,3 |
| | 1 | 4 | 8 | 12 | 1,4 | 7,4 | 11,9 | 25,3 | 1 | 4 | 8 | 12 | 1,4 | 7,4 | 11,9 | 25,3 |

2.11. Sprawdzenie wytrzymałości elektrycznej izolacji

Badanie wykonano zgodnie z p. 4.2.12 programu badań (nos transformatora 500 VA, napięcie próbne 500 V). W wyniku pomiaru nie stwierdzono przebijania izolacji w żadnym module.

3. Badanie dodatkowe

3.1. Badanie modułów MR600E i Ma1000E przy pracy z szybkością 100% AUTO

Badanie wykonano ucinając kolejne mostki ograniczenia prądowego w sterownikach mocy MAK.

Rejestrowano sygnał napięciowy z tachoprądnicy i pobór prądu przez silnik (sil. 11 i 12) przy pracy antycyfrowej i przy ruchu w całym zakresie drogi.

Wyniki pomiarów przedstawione poniżej:

- moduł MR600E

a) ucięcie dodatkowe 4 mostki

pobór prądu - kierunek "-" 23 A rozbieg; 12-11 A hamowanie
kierunek "+" 10-6A "-" 2-10 A "-".

pobór prądu na postoju przed sil. hamulca ~3 A

b) ucięcie dodatkowe 6 mostków

pobór prądu - kierunek "-" 30 A rozbieg; 12-10 A hamowanie
kierunek "+" 10-6A "-" 2-10 A "-".

c) ucięcie dodatkowe 8 mostków

kierunek ruchu "-" tp - 250 ms

th - 250 ms

kierunek ruchu "+" tp - 250 ms

th - 500 ms

d) ucięcie dodatkowe 6 mostków

kierunek "-" tp - 250 ms

th - 350 ms

"+" tp - 200 ms

th - 250 ms

Stwierdzono jednocześnie, że maksymalne napięcie tachoprądnicy silnika wynosi +16 V i -17 V, co odpowiada prędkości rzędu 2331 - 2541 obr/min i nie zmienia się już ze wzrostem prądu silnika.

- moduł HA1000E

a) wyciąg dodatkowe 4 mostki

pobór prądu - kierunek "-" - 22 A
"+" - 21,5 A

b) wyciąg dodatkowe 6 mostków

pobór prądu - kierunek "-" 24 A
"+" 23,5 A

c) wyciąg dodatkowe 4 mostki

kierunek ruchu "-" tp = 450 ms
th = 400 ms
"+" tp = 450 ms
th = 400 ms

d) wyciąg dodatkowe 6 mostków

Kierunek ruchu "+" tp = 400 ms
th = 350 ms
"-" tp = 350 ms
th = 400 ms

e) wyciąg wszystkie mostki

pobór prądu - 36 A

Zauważono jednocześnie, że maksymalne napięcie tachoprądnicy silnika wynosi +11 V i -13 V co daje prędkość ruchu 1624 - 1943 obr/min.

3.2. Pomiar prędkości silnika modułu HA1000E

Pomiar wykonano przy zjętym pasku napędowym w module. Przy nastawie prędkości 1,3 % AUTO silnik obraca się z prędkością 56 obr/min, zaś przy nastawie 50 % AUTO - prędkość wynosi 587 obr/min.

Pobór prądu przez silnik przy pracy jazowej i prędkości 587 obr/min wynosi 0,6 A.

4. Wyniki

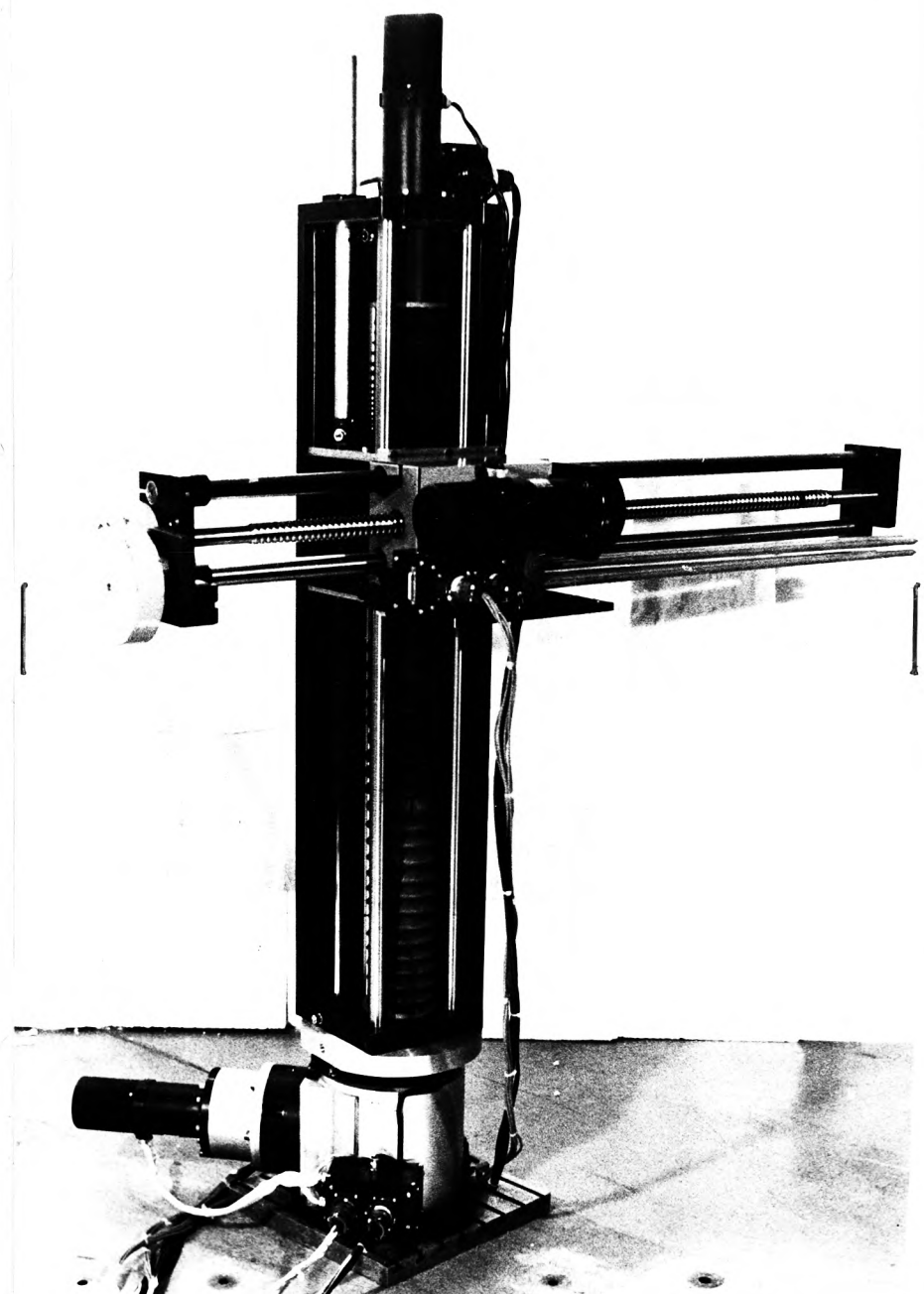
- Na podstawie uzyskanych wyników badań można stwierdzić, że:
1. wszystkie badane moduły spełniają założone wymagania dotyczące:
 - maksymalnego zakresu ruchu
 - udźwigu nominalnego
 - pościszalności pozycjonowania
 - rezystancji i utrzymalotki elektrycznej izolacji.
 2. moduł obrótowy HB340B osiąga maksymalną prędkość ruchu równą $40^{\circ}/\text{s}$ w stosunku do założonej $45^{\circ}/\text{s}$.
 3. moduł liniowy HB600B osiąga maksymalną prędkość ruchu równą $0,33 \text{ m/s}$ w kierunku dodatnim (w dół) oraz $0,27 \text{ m/s}$ w kierunku ujemnym (w góre) w stosunku do założonej $0,5 \text{ m/s}$.
 4. moduł liniowy HA1000B osiąga maksymalną prędkość ruchu równą $0,47 \frac{\text{m}}{\text{s}}$ w kierunku dodatnim oraz $0,31 \text{ m/s}$ w kierunku ujemnym w stosunku do założonej 1 m/s .
 5. prądy silników jednolitów HA1000B i HB600B, przy prędkościach 50 % AUTO, przekraczają wartości prądu nominalnego (5 A) i wynoszą odpowiednio 16 i 8 A .
 6. ruchy modułów HA1000B i HB600B peruwajacych się z prędkością $1,3 \text{ s}$ są przerwane cyklicznie co 5 s .

5. Zalecenia

1. Przed wykonaniem prototypu konieczne jest ustalenie prawidłowych specjalistów (konstruktorów modułów, ekspów sterowania i programistów) przyczyniających się do osiągnięcia założonych wartości prędkości maksymalnych poszczególnych modułów i wprowadzenie niezbędnych zmian w dokumentacji roboczej.
2. W celu zmniejszenia wartości prądu w silnikach napędowych modułów liniowych proponuje się przeprowadzenie modyfikacji wprowadzenie urządzeń odróżniających w module HB600B i silniku silnika elektrycznego PTMK32-902R silnika PTMK13-0722R (stosowanego w robotach IRB-60).
3. W celu wyeliminowania możliwości skręcania i obracania się przewodów elektrycznych oraz zapewnienia bezpiecznych serwaków w obecności robota zaleca się dokonanie nałożny sposobu sklejenia modułów liniowych (depreswacja przewodów wewnątrz modułów lub podwieszenie ich nad robotem).

4. W celu uzupełnienia połączenia modułu piezowego z obrotowym za pomocą przewódniczących & śrub maleńkiej zapewnić dostęp do trubki przyściąszej do której dokonanie docisku doczyniał w module piezowego.
5. W celu zapewnienia jednoznacznego połączenia moduleów liniowych za pomocą dwóch płyt pośrednich proponuje się wykonanie w nich kółek zatajających.
6. Dla stwierdzenia nie osiągnięcia przez moduł HA1000E ustanowionych proporcji konieczne jest wykonanie dodatkowych badań układu sterowania (tzn. przeszkodzonego wysterowania sygnałem Uref. sterownika masy).

Fot. 1



Powtarzalność pozycjonowania

MODUŁ MD 340 E Kierunek ruchu " - "

Tabela Nr. 10

| LP | 1. Najazd do punktu pomiarowego | | 2. Osciylacja wokół punktu pomiarowego | | Położenie wypadkowe punktu pomiarowego |
|----|---------------------------------|-------------------------|--|-----------------|--|
| | a-przekr. P.P.-kier. +" | b-przekr. P.P.-kier. -" | a-kierunek , -" | b-kierunek , +" | |
| 1 | 0 | 0 | -5" | + 15" | +5" |
| 2 | 4'50" | 1'04" | -10" | + 10" | 0 |
| 3 | 4'50" | 1'12" | -10" | + 15" | +2,5" |
| 4 | 4'50" | 1'12" | -10" | + 15" | +2,5" |
| 5 | 4'50" | 1'38" | -15" | + 5" | -5" |
| 6 | 4'59" | 1'04" | -10" | + 15" | +2,5" |
| 7 | 4'68" | 1'04" | -10" | + 15" | +2,5" |
| 8 | 4'59" | 1'12" | -10" | + 15" | +2,5" |
| 9 | 4'59" | 1'12" | -10" | + 15" | +2,5" |
| 10 | 4'59" | 1'04" | -10" | + 15" | +2,5" |
| 11 | 4'59 | 1'04" | -5" | + 15" | +5" |
| 12 | 5'16" | 56" | 0 | + 20" | +10" |
| 13 | 5'08" | 1'04" | -5" | + 20" | +7,5" |
| 14 | 5'08" | 1'04" | -10" | + 15" | +2,5" |
| 15 | 4'59" | 1'12" | -10" | + 15" | +2,5" |
| 16 | 5'08" | 1'12" | -10" | + 10" | 0 |
| 17 | 4'50" | 1'12" | -10" | + 5" | -2,5" |
| 18 | 4'50" | 1'21" | -10" | + 5" | -2,5" |
| 19 | 4'42" | 1'21" | -20" | + 5" | -7,5" |
| 20 | 4'42" | 1'21" | -20" | + 5" | -7,5" |

Wartość dopuszczalna błędu pozycjonowania $\pm 72"$

POWTÓRZALNOŚĆ POZYCJONOWANIA

MODUŁ MD340E kierunek ruchu "+"

Tabela Nr. 1b.

| Lp | 1. Najazd do punktu pomiarowego | | 2. Oszczylacja wokół punktu pomiarowego | | Położenie wypadkowe punktu pomiarowego |
|----|---------------------------------|--------------------------------|---|---------------------|--|
| | α - przekrój P.P.-kier. "+" | β - przekrój P.P.-kier. "-" | α - kierunek "-" | β - kierunek "+" | |
| 1 | 0 | 0 - | -25" | +5" | -10" |
| 2 | 4'52" | 1'04" | -15" | +10" | -2,5" |
| 3 | 4'59" | 1'35" | 0 | +20" | +10" |
| 4 | 4'52" | 1'35" | 0 | +20" | +10" |
| 5 | 4'42" | 1'12" | -10" | +15" | +2,5" |
| 6 | 4'52" | 1'12" | -10" | +15" | +2,5" |
| 7 | 4'52" | 1'04" | 0 | +20" | +10" |
| 8 | 4'52" | 1'12" | -10" | +15" | +2,5" |
| 9 | 4'59" | 1'04" | -5" | +15" | +5" |
| 10 | 4'52" | 1'12" | -10" | +15" | +2,5" |
| 11 | 4'33" | 1'12" | -10" | +15" | +2,5" |
| 12 | 4'42" | 1'12" | -5" | +15" | +5" |
| 13 | 4'59" | 1'12" | -10" | +15" | +2,5" |
| 14 | 4'59" | 1'12" | -10" | +15" | +2,5" |
| 15 | 5'08" | 1'04" | -5" | +20" | +7,5" |
| 16 | 4'52" | 1'35" | 0 | +20" | +10" |
| 17 | 4'52" | 1'35" | -5" | +20" | +12,5" |
| 18 | 4'59" | 1'04" | -5" | +20" | +12,5" |
| 19 | 4'52" | 1'35" | 0 | +25" | +12,5" |
| 20 | 4'59" | 1'04" | -10" | +15" | +7,5" |

Wartość dopuszczalna błędu pozycjonowania ±72"

Powtarzalność pozycjonowania

MODULE MB600E Kierunek ruchu "+"

Tabela Nr. 20

| Lp | 1. Najazd do punktu pomiarowego | | 2. Oszczylacja wokół punktu pomiarowego | | Położenie wypadkowe punktu pomiarowego |
|----|-------------------------------------|------------------------------------|---|--------------------------|--|
| | α -przekr. P.P.-kier. "+" | β -przekr. P.P.-kier. "-" | α -kierunek "-" | β -kierunek "+" | |
| 1 | 0,70 | 0,07 - | -0,01 | +0,01 | 0,00 |
| 2 | 0,71 | 0,07 | -0,01 | +0,01 | 0,00 |
| 3 | 0,70 | 0,07 | -0,01 | +0,01 | 0,00 |
| 4 | 0,70 | 0,07 | 0,00 | +0,01 | +0,005 |
| 5 | 0,70 | 0,07 | 0,00 | +0,01 | +0,005 |
| 6 | 0,72 | 0,08 | 0,00 | +0,01 | +0,005 |
| 7 | 0,71 | 0,07 | 0,00 | +0,02 | +0,01 |
| 8 | 0,72 | 0,08 | 0,00 | +0,02 | +0,01 |
| 9 | 0,72 | 0,08 | 0,00 | +0,01 | +0,005 |
| 10 | 0,72 | 0,08 | 0,00 | +0,01 | +0,005 |
| 11 | 0,72 | 0,07 | 0,00 | +0,01 | +0,005 |
| 12 | 0,70 | 0,08 | 0,00 | +0,01 | +0,005 |
| 13 | 0,70 | 0,06 | 0,00 | +0,01 | 0,005 |
| 14 | 0,72 | 0,06 | -0,01 | +0,01 | 0,00 |
| 15 | 0,70 | 0,08 | 0,00 | +0,02 | +0,01 |
| 16 | 0,72 | 0,08 | 0,00 | +0,01 | +0,005 |
| 17 | 0,72 | 0,08 | 0,00 | +0,01 | +0,005 |
| 18 | 0,70 | 0,07 | 0,00 | +0,01 | +0,005 |
| 19 | 0,72 | 0,07 | 0,00 | +0,01 | +0,005 |
| 20 | 0,72 | 0,08 | 0,00 | +0,01 | +0,005 |

POWTÓRZALNOŚĆ POZYCJONOWANIA
MODULE MB600E Kierunek ruchu " - "

Tabela Nr. 2b

| Lp | 1. Najazd do punktu pomiarowego | | 2. Osciylacja wokół punktu pomiarowego | | Położenie wypadkowe punktu pomiarowego |
|----|---------------------------------|--------------------------|--|--------------------|--|
| | a - przekr. p.p.-kier. + | b - przekr. p.p.-kier. - | a - kierunek „ - ” | b - kierunek „ + ” | |
| 1 | 0,75 | 0,08- | -0,01 | +0,01 | 0,00 |
| 2 | 0,74 | 0,08 | -0,01 | +0,01 | 0,00 |
| 3 | 0,74 | 0,06 | -0,01 | +0,01 | 0,00 |
| 4 | 0,74 | 0,07 | -0,01 | +0,01 | 0,00 |
| 5 | 0,72 | 0,06 | -0,01 | +0,01 | 0,00 |
| 6 | 0,74 | 0,07 | -0,01 | +0,01 | 0,00 |
| 7 | 0,75 | 0,08 | -0,01 | +0,01 | 0,00 |
| 8 | 0,74 | 0,08 | -0,01 | +0,01 | 0,00 |
| 9 | 0,73 | 0,07 | -0,01 | +0,01 | 0,00 |
| 10 | 0,74 | 0,07 | 0,00 | +0,01 | +0,005 |
| 11 | 0,74 | 0,07 | -0,01 | +0,01 | 0,00 |
| 12 | 0,74 | 0,08 | -0,01 | +0,01 | 0,00 |
| 13 | 0,74 | 0,07 | 0,00 | +0,01 | +0,005 |
| 14 | 0,73 | 0,08 | -0,01 | +0,01 | 0,00 |
| 15 | 0,74 | 0,08 | -0,01 | +0,01 | 0,00 |
| 16 | 0,74 | 0,08 | 0,00 | +0,01 | +0,005 |
| 17 | 0,74 | 0,07 | 0,00 | +0,01 | +0,005 |
| 18 | 0,73 | 0,07 | 0,00 | +0,01 | +0,005 |
| 19 | 0,74 | 0,08 | 0,00 | +0,01 | +0,005 |
| 20 | 0,74 | 0,07 | -0,01 | +0,01 | 0,00 |

Powtarzalność pozycjonowania

MODUŁ MA1000E Kierunek ruchu "+".

Tabela Nr. 3a

| Lp | 1. Najazd do punktu pomiarowego | | 2. Osciylacja wokół punktu pomiarowego | | Pozycja wypadkowa punktu pomiarowego |
|----|---------------------------------|--------------------------|--|------------------|--------------------------------------|
| | a-przekr. P.P.-kier. "+" | b-przekr. P.P.-kier. "-" | c-kierunek " - " | d-kierunek " + " | |
| 1 | 1,75 | 0,12 | -0,01 | +0,02 | +0,005 |
| 2 | 1,78 | 0,07 | -0,01 | +0,02 | +0,005 |
| 3 | 1,75 | 0,08 | 0,00 | +0,02 | +0,010 |
| 4 | 1,75 | 0,07 | -0,01 | +0,03 | +0,010 |
| 5 | 1,78 | 0,08 | 0,00 | +0,03 | +0,015 |
| 6 | 1,75 | 0,08 | -0,01 | +0,03 | +0,01 |
| 7 | 1,79 | 0,08 | 0,00 | +0,03 | +0,015 |
| 8 | 1,75 | 0,08 | 0,00 | +0,04 | +0,020 |
| 9 | 1,75 | 0,08 | 0,00 | +0,03 | +0,015 |
| 10 | 1,79 | 0,08 | 0,00 | +0,03 | +0,015 |
| 11 | 1,75 | 0,07 | 0,00 | +0,03 | +0,015 |
| 12 | 1,77 | 0,08 | 0,00 | +0,03 | +0,015 |
| 13 | 1,77 | 0,08 | 0,00 | +0,03 | +0,015 |
| 14 | 1,78 | 0,08 | 0,00 | +0,03 | +0,015 |
| 15 | 1,77 | 0,08 | 0,00 | +0,04 | +0,020 |
| 16 | 1,76 | 0,09 | +0,01 | +0,03 | +0,020 |
| 17 | 1,75 | 0,08 | +0,01 | +0,03 | +0,020 |
| 18 | 1,77 | 0,08 | +0,01 | +0,03 | +0,020 |
| 19 | 1,76 | 0,08 | +0,01 | +0,04 | +0,025 |
| 20 | 1,77 | 0,08 | +0,01 | +0,04 | +0,025 |

Powtarzalność pozycjonowania

MODUŁ MA1000E Kierunek ruchu " - "

Tabela Nr. 3b

| LP | 1. Najazd do punktu pomiarowego | | 2. Osciylacja wokół punktu pomiarowego | | Położenie wypadkowe punktu pomiarowego |
|----|---------------------------------|-------------------------------|--|-------------------------|--|
| | α -przekr. P.P.-kier. + | β -przekr. P.P.-kier. - | α -kierunek , - " | β -kierunek , + " | |
| 1 | 1,75 | 0,08- | -0,03 | +0,02 | -0,005 |
| 2 | 1,76 | -0,08 | -0,02 | +0,03 | +0,005 |
| 3 | 1,76 | 0,09 | -0,03 | +0,01 | -0,01 |
| 4 | 1,75 | 0,08 | -0,02 | +0,01 | -0,005 |
| 5 | 1,77 | 0,08 | -0,02 | +0,01 | -0,005 |
| 6 | 1,77 | 0,08 | -0,03 | +0,02 | -0,005 |
| 7 | 1,75 | 0,09 | -0,03 | +0,01 | -0,01 |
| 8 | 1,77 | 0,06 | -0,02 | +0,01 | -0,005 |
| 9 | 1,76 | 0,07 | -0,03 | +0,02 | -0,005 |
| 10 | 1,76 | 0,06 | -0,02 | +0,01 | -0,005 |
| 11 | 1,76 | 0,07 | -0,02 | +0,01 | -0,005 |
| 12 | 1,76 | 0,07 | -0,03 | +0,02 | -0,005 |
| 13 | 1,76 | 0,06 | -0,03 | +0,02 | -0,005 |
| 14 | 1,76 | 0,07 | -0,02 | +0,02 | 0,00 |
| 15 | 1,76 | 0,08 | -0,02 | +0,01 | -0,005 |
| 16 | 1,76 | 0,08 | -0,02 | +0,01 | -0,005 |
| 17 | 1,76 | 0,08 | -0,02 | +0,01 | -0,005 |
| 18 | 1,76 | 0,08 | -0,03 | +0,02 | -0,005 |
| 19 | 1,76 | 0,07 | -0,03 | +0,02 | -0,005 |
| 20 | 1,76 | 0,06 | -0,02 | +0,02 | 0,00 |

Ponadalność pozyjonowania

MODUŁ MD 340E kierunek ruchu "+"

Pomiar w konfiguracji

Tabela nr 40

| Lp | 1. Najazd do punktu pomiarowego | | 2. Oszczelacja wokół punktu pomiarowego | | Pozycja wyprowadzona punktu pomiarowego |
|----|---------------------------------|------------------------------|---|-----------------------|--|
| | a - przekrój p.p.-kier. + | b - przekrój p.p.-kier. - | c - kierunek " - " | d - kierunek " + " | |
| 1 | 4'21" | 55" | - 13,7" | + 13,7" | 0 |
| 2 | 4'21" | 1'08" | - 3" | + 27" | + 12" |
| 3 | 4'13" | 55" | + 3" | + 36" | + 16" |
| 4 | 4'02" | 49" | + 15" | + 45" | + 30" |
| 5 | 3'53" | 41" | + 15" | + 45" | + 30" |
| 6 | 3'51" | 41" | + 15" | + 48" | + 31" |
| 7 | 3'48" | 35" | + 18" | + 48" | + 33" |
| 8 | 4'07" | 55" | 0 | + 30" | + 15" |
| 9 | 4'02" | 46" | + 12" | + 42" | + 27" |
| 10 | 4'07" | 0 | + 15" | + 45" | + 30" |
| 11 | 4'07" | 38" | + 15" | + 45" | + 30" |
| 12 | 3'53" | 33" | + 24" | + 57" | + 30" |
| 13 | 3'53" | 35" | + 24" | + 46" | + 35" |
| 14 | 4'21" | 27" | + 21" | + 46" | + 35" |
| 15 | 4'21" | 33" | - 9" | + 27" | + 9" |
| 16 | 4'07" | 41" | + 9" | + 33" | + 21" |
| 17 | 4'07" | 0 | 0 | + 30" | + 15" |
| 18 | 4'13" | 1'08" | - 9" | + 36" | + 11" |
| 19 | 3'53" | 55" | + 21" | + 49" | + 35" |
| 20 | 3'53" | 57" | + 30" | + 60" | + 45" |

Wartość dopuszczalna błędu pozyjonowania $\pm 72"$

20

POWTARZALNOŚĆ POZYCJONOWANIA

MODUŁ MB600E kierunek ruchu " - "

Pomiar w konfiguracji

Tabela Nr. 5b

| LP | 1. Najazd do punktu pomiarowego | | 2. Osciągajca wokół punktu pomiarowego | | Pozycja wypadkowa punktu pomiarowego |
|----|---------------------------------|-------------------------------|--|------------------------|--------------------------------------|
| | α -przekr. P.P.-kier. + | β -przekr. P.P.-kier. - | α -kierunek , -" | β -kierunek , +" | |
| 1 | 0,71 | 0,06- | -0,01 | +0,01 | 0,00 |
| 2 | 0,71 | 0,06 | -0,01 | +0,01 | 0,00 |
| 3 | 0,72 | 0,05 | 0,00 | 0,00 | 0,00 |
| 4 | 0,71 | 0,06 | -0,01 | +0,01 | 0,00 |
| 5 | 0,71 | 0,06 | 0,00 | 0,00 | 0,00 |
| 6 | 0,71 | 0,06 | -0,01 | +0,01 | 0,00 |
| 7 | 0,70 | 0,06 | -0,01 | +0,01 | 0,00 |
| 8 | 0,71 | 0,07 | -0,01 | +0,01 | 0,00 |
| 9 | 0,71 | 0,06 | -0,01 | +0,01 | 0,00 |
| 10 | 0,71 | 0,07 | -0,01 | +0,01 | 0,00 |
| 11 | 0,70 | 0,06 | -0,01 | +0,01 | 0,00 |
| 12 | 0,72 | 0,07 | -0,01 | +0,01 | 0,00 |
| 13 | 0,70 | 0,06 | -0,01 | +0,01 | 0,00 |
| 14 | 0,70 | 0,07 | -0,01 | +0,01 | 0,00 |
| 15 | 0,70 | 0,06 | -0,01 | +0,01 | 0,00 |
| 16 | 0,71 | 0,06 | 0,00 | 0,00 | 0,00 |
| 17 | 0,70 | 0,06 | 0,00 | 0,00 | 0,00 |
| 18 | 0,70 | 0,05 | -0,01 | +0,01 | 0,00 |
| 19 | 0,70 | 0,06 | -0,01 | +0,01 | 0,00 |
| 20 | 0,70 | 0,06 | -0,01 | +0,01 | 0,00 |

Powtarzalność pozycjonowania

MODUŁ MB600E Kierunek ruchu "+"

Pomiar w konfiguracji

Tabela Nr. 50

| LP | 1. Najazd do punktu pomiarowego | | 2. Osciylacja wokół punktu pomiarowego | | Pozycja wypadkowa punktu pomiarowego |
|----|---------------------------------|----------------------------------|--|---------------------|---|
| | a - przekrocz. p.p.-kier. + | b - przekrocz. p.p.-kier. "-" | a - kierunek "-" | b - kierunek "+" | |
| 1 | 0,70 | 0,09 | -0,01 | -0,02 | -0,015 |
| 2 | 0,70 | 0,09 | -0,01 | -0,02 | -0,015 |
| 3 | 0,72 | 0,09 | -0,01 | -0,02 | -0,015 |
| 4 | 0,72 | 0,08 | -0,01 | +0,01 | 0,00 |
| 5 | 0,70 | 0,07 | -0,02 | +0,02 | 0,00 |
| 6 | 0,71 | 0,08 | -0,01 | +0,01 | 0,00 |
| 7 | 0,70 | 0,09 | -0,01 | +0,01 | 0,00 |
| 8 | 0,71 | 0,08 | -0,01 | +0,01 | 0,00 |
| 9 | 0,72 | 0,10 | -0,02 | +0,02 | 0,00 |
| 10 | 0,69 | 0,08 | -0,01 | +0,01 | 0,00 |
| 11 | 0,71 | 0,09 | -0,01 | +0,01 | 0,00 |
| 12 | 0,71 | 0,09 | -0,02 | +0,02 | 0,00 |
| 13 | 0,71 | 0,09 | -0,02 | +0,02 | 0,00 |
| 14 | 0,69 | 0,08 | -0,01 | +0,01 | 0,00 |
| 15 | 0,72 | 0,08 | -0,01 | +0,01 | 0,00 |
| 16 | 0,72 | 0,09 | -0,01 | +0,01 | 0,00 |
| 17 | 0,70 | 0,08 | 0,00 | 0,00 | 0,00 |
| 18 | 0,72 | 0,08 | -0,01 | +0,01 | 0,00 |
| 19 | 0,70 | 0,07 | -0,01 | +0,01 | 0,00 |
| 20 | 0,70 | 0,08 | -0,01 | +0,01 | 0,00 |

POWTÓRZALNOŚĆ POZYCJONOWANIA
MODUŁ MA1000E KIERUNEK RUCHU "+"

Pomiar w konfiguracji

Tabela Nr. 6a

| LP | 1. Najazd do punktu pomiarowego | | 2. Oszczylacja wokół punktu pomiarowego | | Położenie wypadekowe punktu pomiarowego |
|----|----------------------------------|---------------------------------|---|------------------------|---|
| | α -przekr. P.P.-kier. "+" | β -przekr. P.P.-kier. "-" | α -kierunek , -" | β -kierunek , +" | |
| 1 | 1,70 | 0,07 | - 0,01 | 0,00 | - 0,005 |
| 2 | 1,70 | 0,07 | - 0,05 | 0,00 | - 0,025 |
| 3 | 1,70 | 0,05 | - 0,04 | 0,00 | - 0,020 |
| 4 | 1,70 | 0,04 | - 0,05 | 0,00 | - 0,025 |
| 5 | 1,68 | 0,03 | - 0,03 | + 0,05 | + 0,010 |
| 6 | 1,70 | 0,04 | - 0,02 | + 0,05 | + 0,015 |
| 7 | 1,70 | 0,04 | - 0,05 | 0,00 | - 0,025 |
| 8 | 1,70 | 0,05 | - 0,05 | 0,00 | - 0,025 |
| 9 | 1,70 | 0,05 | - 0,05 | 0,00 | - 0,025 |
| 10 | 1,70 | 0,03 | - 0,05 | + 0,02 | - 0,015 |
| 11 | 1,68 | 0,03 | - 0,04 | + 0,01 | - 0,015 |
| 12 | 1,71 | 0,05 | - 0,03 | 0,00 | - 0,015 |
| 13 | 1,74 | 0,06 | - 0,03 | + 0,01 | - 0,010 |
| 14 | 1,74 | 0,05 | - 0,04 | + 0,01 | - 0,015 |
| 15 | 1,70 | 0,04 | - 0,04 | + 0,01 | - 0,015 |
| 16 | 1,68 | 0,05 | - 0,05 | + 0,01 | - 0,020 |
| 17 | 1,71 | 0,06 | - 0,04 | + 0,02 | - 0,010 |
| 18 | 1,68 | 0,05 | - 0,04 | + 0,02 | - 0,010 |
| 19 | 1,68 | 0,00 | - 0,06 | - 0,03 | - 0,045 |
| 20 | 1,70 | 0,05 | - 0,04 | 0,00 | - 0,020 |

Powtarzalność pozycjonowania

MODUŁ MA1000E Kierunek ruchu " - "

Pomiar w konfiguracji

Tabela Nr. 6b

| LP | 1. Najazd do punktu pomiarowego | | 2. Osciylacja wokół punktu pomiarowego | | Położenie wypodkowe punktu pomiarowego |
|----|---------------------------------|--------------------------|--|------------------|--|
| | α-przekr. P.P.-kier. + " | β-przekr. P.P.-kier. - " | α-kierunek , - " | β-kierunek , + " | |
| 1 | 1,80 | 0,10 - | +0,03 | +0,05 | +0,040 |
| 2 | 1,80 | 0,10 | +0,02 | +0,04 | +0,030 |
| 3 | 1,80 | 0,10 | +0,03 | +0,05 | +0,040 |
| 4 | 1,80 | 0,10 | +0,03 | +0,05 | +0,040 |
| 5 | 1,80 | 0,11 | +0,02 | +0,05 | +0,035 |
| 6 | 1,82 | 0,10 | +0,02 | +0,06 | +0,040 |
| 7 | 1,82 | 0,10 | +0,03 | +0,06 | +0,045 |
| 8 | 1,78 | 0,10 | +0,03 | +0,05 | +0,040 |
| 9 | 1,76 | 0,10 | +0,03 | +0,05 | +0,040 |
| 10 | 1,78 | 0,10 | +0,03 | +0,05 | +0,040 |
| 11 | 1,78 | 0,10 | +0,03 | +0,05 | +0,040 |
| 12 | 1,76 | 0,11 | +0,03 | +0,05 | +0,040 |
| 13 | 1,78 | 0,09 | +0,02 | +0,05 | +0,035 |
| 14 | 1,78 | 0,08 | +0,02 | +0,05 | +0,035 |
| 15 | 1,78 | 0,08 | +0,02 | +0,05 | +0,35 |
| 16 | 1,76 | 0,08 | +0,03 | +0,05 | +0,040 |
| 17 | 1,76 | 0,09 | +0,03 | +0,05 | +0,040 |
| 18 | 1,78 | 0,08 | +0,02 | +0,05 | +0,035 |
| 19 | 1,78 | 0,10 | +0,02 | +0,05 | +0,035 |
| 20 | 1,78 | 0,10 | +0,02 | +0,05 | +0,035 |

Załącznik nr 2 do sprawozdania nr rej. 6281
"Moduły PR-02 z napędem elektrycznym, badania modeli"

Zgodnie z założeniami komisji odbioru punktu kontrolnego wykonane niespełnione badania mające na celu określenie poprawności sterowania sterownika mocy w module MA1000E.

1. wykonano pomiary prędkości obrotowej silnika przy sterowaniu z panelu testującego (przy kontroli wielkości) cyfrowego sygnału sterującego sterownikiem osi)

Stwierdzono, że przy tym sterowaniu uzyskuje się następujące prędkości silnika:

| | |
|--|--------------------|
| - wielkość zadana prędkości 20 inkrementów | - 295 obr/min |
| - " " 40 | - " " 586 obr/min |
| - " " 60 | - " " 878 obr/min |
| - " " 80 | - " " 1173 obr/min |
| - " " 100 | - " " 1464 obr/min |

2. moduł MA1000E zaprogramowane na pracę z prędkością 100 % AUTO i przy odjętym pasie klinowym (jalowa praca silnika) wykonano pomiary charakterystyk tachoprądnicy (dla obu kierunków ruchu modułu) dla określenia uzyskiwanych prędkości przez silnik (wykresy w tab.1). Na podstawie uzyskanych przebiegów określono, że silnik uzyskuje prędkość 2800 obr/min. Stwierdza to, że program operacyjny zapewnia sterowania sterownika mocy umożliwiające uzyskanie maksymalnych prędkości przez silnik.

Dodatkowo w trakcie badań uzupełniających potwierdzono występowanie w układzie sterowania robota IRb zjawiska rozbieżności prędkości w pracy AUTO i RĘCZNA. Nastawa prędkości 50 % RĘCZNA zapewnia pracę silnika z prędkością 586 obr/min, zaś nastawa 50 % AUTO pracę z prędkością ok. 1420 obr/min (przebieg UTACHO w tab.2). Również potwierdzono uzyskane wcześniej wyniki badań:

- brak możliwości programowania pracy modułu z prędkością większą od 50 % (w cyklu pracy AUTO) - występowanie STOPU AWARYJNEGO
- poprawną pracę modułu przy pracy z prędkością "50 % AUTO" (poprawność osiągnięta, pracy z ustaloną prędkością i wykazaniami - przebieg w tab.3).

Z uwagi na fakt, że zastosowany napęd nie posiada mocy dostatecznej dla uzyskania zakładanych prędkości maksymalnych modułu, należy zastosować napęd o większej mocy (np. 1000 W).

Wniosek.